УДК 552.1

### С. Г. ГАМБАРЯН, С. Д. ЧЕТВЕРИКОВ

# ЗАКРИСТАЛЛИЗОВАННЫЕ РАСПЛАВЫ В СИСТЕМЕ $MgO-Al_2O_3-SiO_2$ С ДОБАВКОЙ $Cr_2O_3$

Химический состав исследуемых образцов в системе MgO—Al<sub>2</sub>O<sub>3</sub>— SiO<sub>2</sub> с добавкой Cr<sub>2</sub>O<sub>3</sub> получен путем замещения содержания кордиерита на 5, 10, 20, 30, 40 и 50 мол. % нормативным хромовым кордиеритом— Mg<sub>2</sub>Cr<sub>4</sub>Si<sub>5</sub>O<sub>18</sub> [1, 2] в опорных составах, расположенных в системе MgO—Al<sub>2</sub>O<sub>3</sub>—SiO<sub>2</sub> в поле первичной кристаллизации кордиерита и в пограничных с инм участках полей первичной кристаллизации других фаз.

Расчетный минеральный состав исходных образцов и весовые количества окиси хрома, при замещении в составах минимального (5%) и максимального (50%) количеств магниевого кордиерита на хромовый кордиерит, приведены в табл. 1.

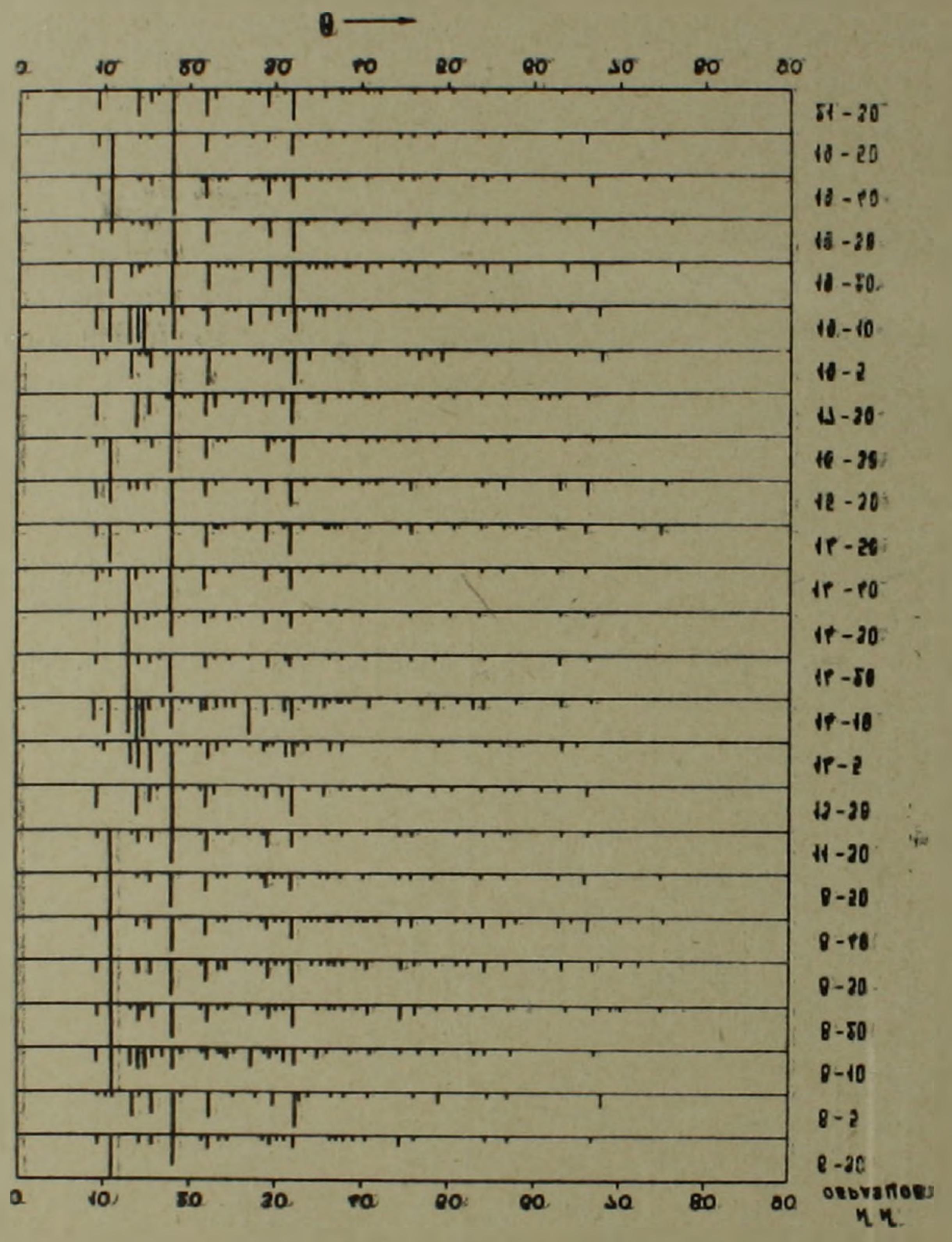
Таблица I Расчетный минеральный состав исследуемых образцов

№ образцов	Расчетный минеральный состав, мол'0/0						Содержание Cr <sub>2</sub> O <sub>3</sub> (вес. %). при замещении Mg—Cord	
№ 06J	Cord	En	Q	Fo	Sp	Muli	на 5º/o Cr—Cord	на 50°% Cr—Cord
1 2 3 4 5 6 7 8 9 10 11 12 13 14 15 16 17 18 19 20 21 22 23 24	52,31 69,70 92,00 63,24 58,67 65,56 52,17 64,39 74,78 51,24 63,29 75,57 50,42 62,17 74,29 86,61 61,15 72,94 85,10 97,66 59,60 68,00 76,50 85,45	1,98 19,82 36,67 3,53 28,83 14,20 38,95 24,51 9,91 48,47 34,64 20,23 5,68 22,95 17,16 11,58 1,38	30,91 19,00 21,41 24,29 9,81 12,20 14,52 1,11 3,19 5,48 7,71	4,50 16,94 4,66 	0,30	1,03	1,36 1,74 2,41 1,66 1,56 1,63 1,87 1,34 1,63 1,87 1,34 1,63 1,87 2,21 1,63 1,87 2,21 1,63 1,87 2,21 1,63 1,87 2,21 1,63 1,87 2,21 2,52 1,62 1,83 2,03 2,24	13,03 16,53 22,51 16,12 14,89 15,58 12,88 15,58 17,75 12,88 15,58 17,81 12,88 15,58 17,81 20,82 15,58 17,81 20,82 15,58 17,81 20,82 15,58 17,81 20,82 15,58

Химический состав хромсодержащих образцов в исследуемой области системы  $MgO-Al_2O_3-SiO_2$  варьирует в пределах (вес. % %): MgO-9,41-29,34;  $Al_2O_3-8,62-32,91$ ;  $SiO_2-44,66-67,63$  и  $Cr_2O_3-1,62-23,42$ . Известия, XXII, 3-3

Кристаллизация хромсодержащих расплавов осуществлялась путеми понижения температуры в силитовой печи со скоростью 12—13° в час после выдержки при максимальной температуре 1550°С в течение 1 часа.

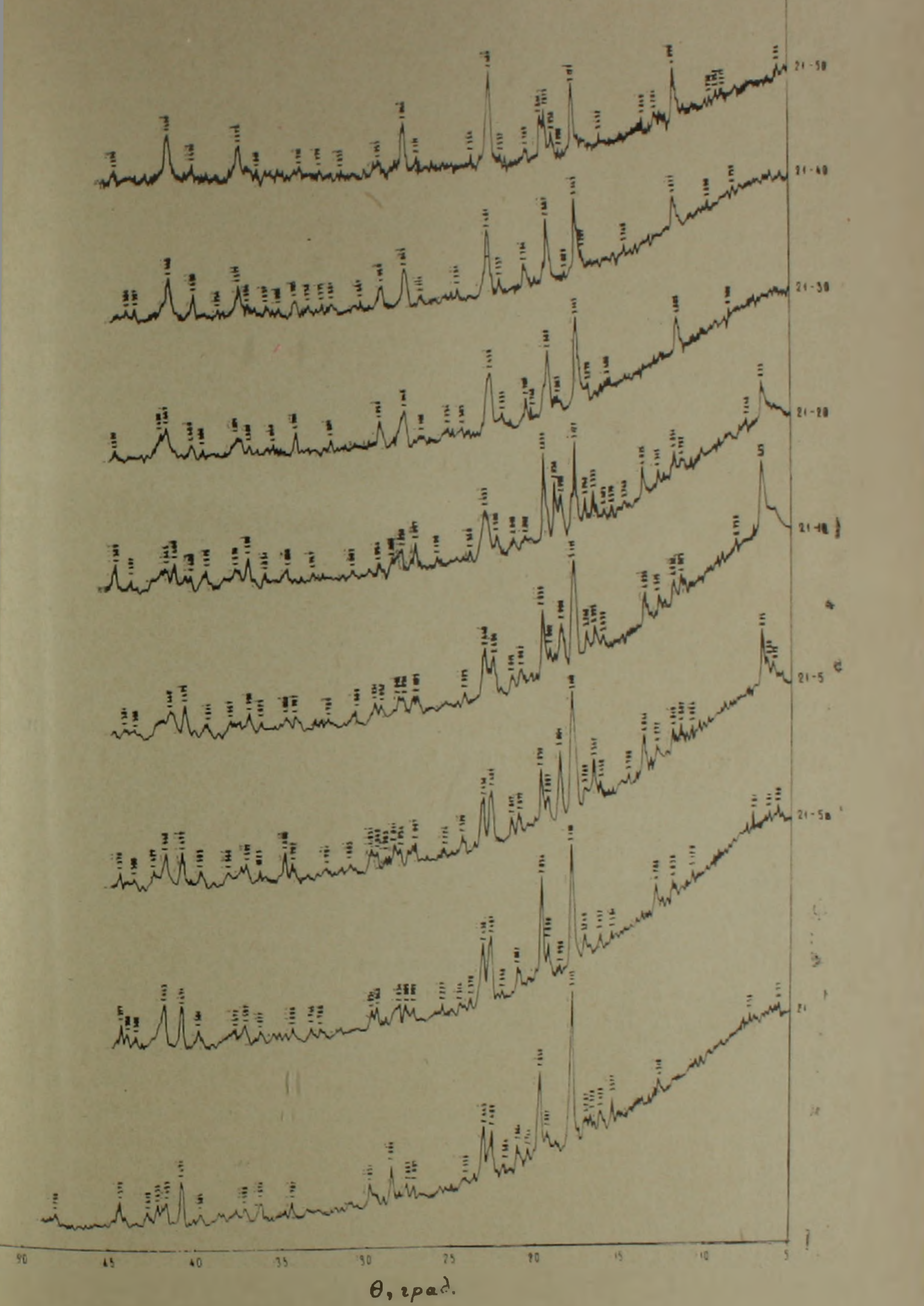
Закристаллизованные хромсодержащие расплавы подвергались микроскопическому исследованию. Для некоторых образцов проведен также рентгенофазовый анализ, на основании чего построена днаграмма межплоскостных расстояний продуктов кристаллизации этих образцов: (рис. 1). На рис. 2 приводятся результаты рентгенофазового анализа:



Фиг. 1. Диаграмма межплоскостных расстояний продуктов кристаллизации в системе MgO-Al<sub>2</sub>O<sub>3</sub>-SiO<sub>2</sub>-Cr<sub>2</sub>O<sub>3</sub> (СuK<sub>2</sub>-излучение).

хромсодержащих образцов состава 21 с целью обнаружения изменения фазового состава хромсодержащих образцов в зависимости от исходного соотношения Mg- и Cr-кордиеритовых составляющих.

Микроскопические и рентгенографические исследования закристаллизованных образцов показывают, что уже небольшие добавки окиси хрома способствуют образованию в них твердого раствора шпинелы:



Фиг. 2. Влияние Ст.О. на фазовый состав образцов в системе MgO-Al<sub>2</sub>O<sub>3</sub>-SIO<sub>2</sub> (FeK<sub>2</sub>-излучение).

90

(MgAl<sub>2</sub>O<sub>4</sub>) и пикрохромита (MgCr<sub>2</sub>O<sub>4</sub>). Присутствие небольших добавок окиси хрома способствует образованию относительно равновесных условий кристаллизации исследуемых расплавов. Фазовый состав закристаллизованных расплавов при 5%-ном замещении кордиерита на нормативный Сг-кордиерит близок к расчетному минеральному фазовому составу. Помимо шпинелевой фазы в них присутствуют кордиерит (α-форма) и энстатит (обе фазы во всех образцах), кристобалит (в обр. 6—5)\*, форстерит (21—5), муллит и небольшое количество стекла (9—5, 16—5 и 20—5).

Увеличение в образцах Сг-кордиеритовой составляющей увеличивает содержание шпинелевой фазы, что сопровождается постепенным уменьшением и исчезновением последовательно форстеритовой, кордиеритовой и энстатитовой фаз и появлением кристобалита в образцах исследуемой области системы MgO—Al<sub>2</sub>O<sub>3</sub>—SiO<sub>2</sub>—Cr<sub>2</sub>O<sub>3</sub>. Установление равновесия в системе, при образовании твердого раствора Mg(Al, Cr)<sub>2</sub>O<sub>4</sub>, можно представить в виде следующих реакций:

$$Mg_2SiO_4 + Cr_2O_3 \rightarrow MgSiO_3 + MgCr_2O_4$$
  
 $Mg_2Al_4Si_2O_{18} \rightarrow 2MgAl_2O_4 + 5SiO_2$   
 $MgSiO_3 + Cr_2O_3 \rightarrow MgCr_2O_4 + SiO_2$   
 $MgAl_2O_4 + MgCr_2O_4 \rightarrow 2Mg(Al, Cr)_2O_4$ 

Состав твердого раствора шпинели легко определяется рентгенофавовым анализом по промежуточным значениям межплоскостных расстояний некоторых основных линий крайних членов ряда твердого раствора шпинель-пикрохромит (d=4.66; 2,43; 2,01; 1.55; 1,426 Å, для  $MgAl_2O_4$  и d=4.80; 2,51; 2,08; 1,602; 1,473Å, для  $MgCr_2O_4$ , [3]). Результаты такого определения показывают, что в исследуемой области системы  $MgO-Al_2O_3-SiO_2-Cr_2O_3$  содержание пикрохромита колеблется в пределах от 15 до 60 мол. %.

Приведенные в работе рентгенограммы четко фиксируют изменение фазового состава образцов в зависимости от соотношения в них составляющих Mg- и Cr-кордиеритов (фиг. фиг. 1 и 2).

Область образцов шпинель-кристобалитового состава начинается в составах со сравнительно большим расчетным содержанием кремнезема и расширяется при увеличении в образцах содержания Ст-содержащей кордиеритовой составляющей, охватывая область составов с большим расчетным содержанием форстерита и энстатита. Образцы с 50%-ным замещением Мд-кордиерита на хромовый можно разбить на 3 группы: 1. шпинель-кристобалитовая, 2. шпинель-энстатит-кристобалитовая, 3. шпинель-энстатитовая.

Шпинель-кристобалитовая группа образцов занимает область составов, лежащих в верхней и правой частях поля кордиерита и пограничных с ним участках полей муллита и кристобалита (составы 6, 2, 9.

В номерах образцов цифра через черточку обозначает расчетное замещенное количество кордиерита в исходных составах на нормативный Сг-кордиерит (в мол. 0/с).

8, 7, 12, 15, 16, 19, 20, 3 и 24). Образцы второй шпинель-энстатиткристобалитовой группы занимают небольшой участок в области составов I, 10, 11 и 14. Третья—шпинель-эстатитовая группа образцов занимает область составов, лежащих вблизи эвтектических составов 4 и 5, в полях первичной кристаллизации клиноэнстатита, форстерита, шпинели и кордиерита.

Кристаллические фазы, образующиеся в исследуемой области системы MgO—Al<sub>2</sub>O<sub>3</sub>—SiO<sub>2</sub>—Cr<sub>2</sub>O<sub>3</sub>, характеризуются следующими основными данными:

Плинель-изотропные зерна розового цвета, n=1,750-1,950 (фиг. 3a, б, д).



Фиг. 3. Микрофотографии фазового состава продуктов кристаллизации в части системы  $MgO-Al_2O_3-SiO_2-Cr_2O_3$ : а — мелкие зерна шпинели (николи —, ув.  $44\times$ ); б — кордиерит с мелкими включениями шпинели; в — длиннопризматические кристаллы форстерита с энстатитом; г — радиально-лучистые и призматические образования энстатита (б, в, г—николи +, ув.  $21\times$ ); д — чешуйки кристобалита в массе шпинели (николи +, ув.  $44\times$ ).

Кордиерит (индиалит) — ксеноморфные зерна, двуосный, отрица- тельный;  $2V \approx 0^\circ$ ,  $n_g = 1,528$ ,  $n_p = 1,524$  (фиг. 36).

Форстерит—встречается в виде длиннопризматических кристаллов, двуосный, положительный;  $2V \approx 90^\circ$ ;  $n_g = 1,670$ ,  $n_p = 1,638$  (фиг. 3в).

Энстатит—образует радиально-лучистые и перистые формы роста, а также мелкие призматические кристаллы, двуосный, положительный;  $25V \approx 75^\circ$ , r < V (четкая);  $n_g = 1,666$ ,  $n_p = 1,659$  (фиг. 3в, г).

Кристобалит-встречается в виде мелких зерен и крестообразных

двойников;  $n_g = 1.487$ ,  $n_p = 1.484$  (фиг. 3д).

#### Выводы

1. Синтезирован ряд образцов в системе  $MgO-Al_2O_3-SiO_2$  с добав-кой  $Cr_2O_3$ .

2. На основании микроскопического и рентгенофазового анализов обнаружено, что добавка окиси хрома в исследуемой области системы приводит к образованию непрерывного ряда твердых растворов шпинель-пикрохромит, а также кристобалита. Образование этих фаз сопровождается постепенным уменьшением и исчезновением в образцах форстерита, кордиерита и энстатита.

3. Полученные результаты могут быть использованы для идентификации фазового состава четырехкомпонентной системы MgO—Al<sub>2</sub>O<sub>3</sub>—SiO<sub>2</sub>—Cr<sub>2</sub>O<sub>3</sub>, имеющей важное петрогенетическое значение для ультрабазитов, габброидов, чарнокитов и роговиков, а также в ряде отраслей промышленности алюмосиликатных технических материалов (новообразования шпинелидов при влиянии катионов хрома могут быть нуклеаторами при кристаллизации алюмосиликатного расплава).

Институт химин ЕРНИИХИМ

Поступила 20.11.1968,

#### Ս. Գ. ՂԱՄԲԱՐՅԱՆ, Ս. Դ. ՁԵՏՎԵՐԿՈՎ

ԲՅՈՒՐԵՂԱՑՐԱԾ ՀԱԼՈՑՔՆԵՐԸ  $MgO-Al_2O_3-SiO_2$  ՍԻՍՏԵՄՈՒՄ  $Cr_2O_3-\hbar$  ԱՎԵԼԱՑՈՒՄՈՎ

## Ulfphhhrif

էջսպերիմենտալ եղանակով ուսումնասիրված են Cr<sub>2</sub>O<sub>3</sub>-ի ավելացման արդյունջները այն բաղադրություններում, որոնջ MgO-Al<sub>2</sub>O<sub>3</sub>-SiO<sub>2</sub> սիստեւնում գտնվում են կորդիերիտի առաջնային բյուրեղացման դաշտում, ինչպես նաև ուրիշ ֆազաների առաջնային բյուրեղացման դաշտերի կորդիերիտին սահմանակից տեղամասերում։

Միկրոսկոպիկ և ռենտգենաֆազային անալիզների հիման վրա հայտնաբերված է, որ Cr<sub>2</sub>O<sub>3</sub>-ի ավելացումը MgO—Al<sub>2</sub>O<sub>3</sub>—SiO<sub>2</sub> սիստեմի ուսումնասիրված հատվածում պատճառ է հանդիսանում շպենել-պիկրոբրոմիտ անընդսել շարբի պինդ լուծույβների ինչպես նաև կրիստորալիտի առաջացմանը։

#### ЛИТЕРАТУРА

- 1. Гамбарян С. Г., Батанова А. М., Четвериков С. Д. Исследование стекол в системе MgO—Al<sub>2</sub>O<sub>3</sub>—SiO<sub>2</sub>. «Промышленность Арменин», № 3, 1967.
- 2 Warshaw G., Keith M. L. Solid solution and chromium oxide loss in part of the system MgO-Al<sub>2</sub>O<sub>3</sub>-Cr<sub>2</sub>O<sub>3</sub>-SiO<sub>2</sub>. J. Amer. Ceram. Soc., 37, no 4, 161-168, 1954.